

### 3.2.3 Temperature profile of accreting disks

accreting disk の radial 方向の有効 温度 を求めよ。

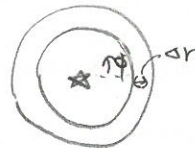
幅  $\Delta r$  の リング の 総トルクを考える。

$$\rightarrow \frac{\partial G}{\partial r} \Delta r \quad (G: \text{ 中方向と方向に重合した 1 バーの総トルク } )$$

この差分を  $\Delta r \rightarrow 0$

$$\frac{G(r+\Delta r) - G(r)}{\Delta r} \cdot \Delta r$$

$\lim_{\Delta r \rightarrow 0}$



仕事率は、

$$\text{仕事率} \frac{\partial G}{\partial r} \Delta r = \left[ \frac{\partial}{\partial r} (G \omega) - G \omega' \right] \Delta r, \quad (3.28)$$

$$t: t \text{ で } \omega = \frac{d\omega}{dr}$$

(3.28) 右辺  $t \rightarrow 0$ .

$$\text{第一項: } \frac{\partial}{\partial r} (G \omega)$$

$[N \cdot m]$

$G: [dyn \cdot cm]$

$$\left( \frac{\partial G}{\partial r} \Delta r \right) = [g \cdot cm^2 \cdot s^{-2}]$$

$\omega: [rad \cdot s^{-1}]$

$$G \omega = |F_x| r \cdot \frac{V_{rot}}{r} = FV \quad [J \cdot s^{-1}]$$

リーフを通しての、粘性トルクによるエキルギーの輸送

これは  $G \omega_{out} - G \omega_{in}$  なので、境界条件は決まる。

第二項:  $-G \omega'$

ロスは、エキルギー - ロス、

$$\left( \omega' = \frac{d\omega}{dr} \right)$$

エキルギーのロスは、熱と放射となる。

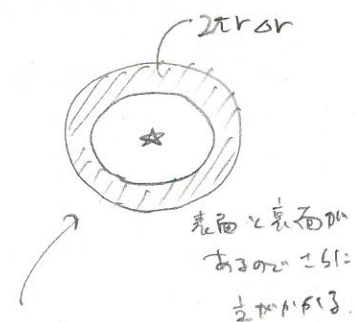
円盤の単位表面積あたりから出るエキルギー - ロスは、

$$D(r) = \frac{G \omega'}{4\pi r} = \frac{q}{8} \nu \sum \omega^2 \quad (\omega = \omega_{\text{loop}} \text{ を仮定}) \quad (3.29)$$

$$\left( \because G = 2\pi r \cdot \nu \sum r \frac{d\omega}{dr} r, \omega' = \frac{d\omega}{dr} = -\frac{3}{2} \sqrt{\frac{GM_*}{r^5}} = -\frac{3}{2} \frac{\omega}{r} \right)$$

$$\frac{G \omega'}{4\pi r} = \frac{1}{4\pi r} \frac{1}{2} \frac{3}{2} \frac{\omega^2}{r} \cdot \nu \sum r^2 \omega^2$$

$$= \frac{9}{8} \nu \sum \omega^2$$



Blackbody radiation を考へる。

$$D(r) = \sigma T_{\text{disk}}^4$$

$$\rightarrow \sigma \Sigma = \frac{\dot{M}}{3\pi} \left( 1 - \sqrt{\frac{R_*}{r}} \right)$$

これを、円盤進化の式の定常解 (3.20) を用ひる。

かつ  $\Omega = \omega_{\text{kep}}$  を用ひる (3.29) より、

$$T_{\text{disk}}^4 = \frac{3GM_*\dot{M}}{8\pi\sigma r^3} \left( 1 - \sqrt{\frac{R_*}{r}} \right) \quad (3.30)$$

○ inner boundary が離れる ( $r \gg R_*$ )、

$$T_{\text{disk}} \propto r^{-\frac{3}{4}}$$

○ razor-thin disk (flat で厚みのない disk モデル)

$$\propto r^{-\frac{3}{4}}$$

○ viscosity は依存しない

- 不定性がある。今うれしいのは、逆に観測からいって  
矢印は得られないので、

$$\dot{M} = 10^{-7} M_\odot \text{ yr}^{-1}$$

太陽質量の星に対する、IAU の有効温度は

$$T_{\text{disk}} = 150 \text{ K}$$

これが表面温度

### 3.3 Vertical structure of protoplanetary disks

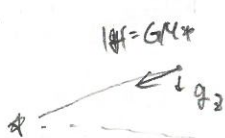
- 重力ポテンシャルエネルギーが解放されて熱  $T = T_0$   
これは、密度が最も大きい円盤の mid-plane:  
集中してから離れる。
- 円盤  $z$  は大体の場所で  $z \gg r$   $\rightarrow$  放射で直接熱を逃げてす。  
 $\rightarrow$  乱流か放射拡散 (turbulence or radiative diffusion)
- $z = z'$  は、accreting disk の鉛直方向の温度勾配を計算する。  
viscosity の強さは disk 表面より、中心の状態によるのが大手  
ほぼすべてのモデルで
- viscosity のモデルと鉛直構造から  
円盤構造と進化の自己矛盾のないモデル (self-consistent model)  
を導く。

平行平面を考える。また、エネルギーの輸送は radiative diffusion  
によるとする。解くべき式は、

1. 静水圧平衡 (hydrostatic equilibrium)

$$\frac{dp}{dz} = -\rho g_z \quad (3.31)$$

$g_z$  は 鉛直方向の重力 (式(2.5))



2. flux  $F_z$  の鉛直方向の変化

$$\frac{dF_z}{dz} = \frac{9}{4} \rho v L \Omega^2 \quad (3.32)$$

↑ 片面で計算  
上下面の flux を  
 $\propto 2 \pi a^2 \times 2$

(式(3.29)より)

3. 放射拡散の式 (optically thick 且つ媒質  $z$  の flux と 温度勾配の関係)

$$\frac{dT}{dz} = -\frac{3 K R P}{16 \sigma T^3} F_z \quad (3.33)$$

(導出は後のページ)

+ eqn. of state (P, ρ, T の関係), Rossland mean opacity  $K_R$ ,  
 boundary condition + viscosity?

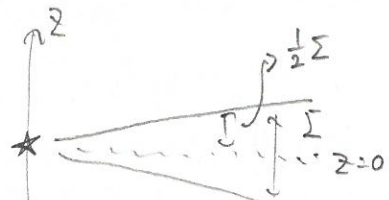
もし、求まつた温度勾配が断熱状態とのそれより大きかったら  
 + 对流 flux の必要。  
 (勾配がさかづく) (3.35)

### 3.3.1 The central temperature of accreting disks

仮定.  $z=0$  は近いほど、 viscosity  $\propto \frac{1}{z}$ ,  
 エネルギー散逸は弱い。

mid-plane  $\rho(z)$  表面までの  $T$

$$T = \frac{1}{2} K_R \Sigma \quad (3.34)$$



$K_R$ : Rossland mean opacity

$\Sigma$ : 表面密度

$\rho(z)$ : 密度の鉛直  $\tau$  ロファイル

鉛直方向のエネルギー輸送は、放射拡散

$$F_z(z) = - \frac{16\sigma T^3}{3K_R \rho} \frac{dT}{dz} \quad (3.35)$$

簡単のために、エネルギー散逸は全て  $z=0$  で起こるとする。

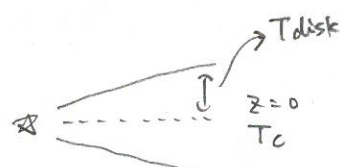
$$\text{このとき, } F_z(z) = \sigma T_{disk}^4 = \text{const}$$

$K_R = \text{const}$  を仮定

$$F(z) = - \frac{16\sigma T^3}{3K_R \rho} \frac{dT}{dz} = \sigma T_{disk}^4$$

$$- \frac{16}{3K_R} \int_{T_c}^{T_{disk}} T^3 dT = T_{disk}^4 \int_0^z \rho(z') dz' \quad (3.36)$$

$$- \frac{16}{3K_R} \left[ \frac{T^4}{4} \right]_{T_c}^{T_{disk}} = T_{disk}^4 \frac{\Sigma}{2} \quad (3.37)$$



$\tau \gg 1$  のとき、 $T_c^4 \gg T_{disk}^4$  と見う。

$$-\frac{16}{3K_R} \left[ \frac{T^4}{4} \right]_{T_c}^{T_{disk}} = -\frac{4}{3K_R} (T_{disk}^4 - T_c^4) \approx \frac{4}{3K_R} T_c^4$$

F22

$$\frac{T_c^4}{T_{disk}^4} \approx \frac{3}{4} K_R \cdot \frac{\tau}{2} = \frac{3}{4} \tau \quad (3.38)$$

- $\tau \gg 1$  の active disks のとき、表面より中心の方が熱い。  
例えは、 $\tau = 10^2$  のとき  $T_c \approx 3 T_{disk}$

- $k \propto r^{-1}$  の場合  $\tau \propto r^2$  が存在する場合がある。

accretion:  $\pm 3$  の "Tdisk" に加えて、星からの放射がかかる場合

$$T_{disk, visc} = \pm 3 \text{ または } T_{disk}$$

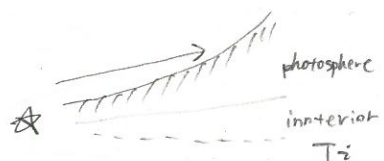
$$T_{irr} : \begin{array}{l} \text{accretion: } \pm 3 \text{ 有効温度} \\ \text{放射: } \text{なし} \end{array}$$

$$T_c^4 \approx \frac{3}{4} \tau T_{disk, visc}^4 + T_{irr} \quad (3.39)$$

これが  $\tau \gg 1$  のときの注意

$T_{irr}$  は、passive の放射平衡における disk の

$T_i$  (interior temperature)



### 3.3.2 Shakura - Sunyaev's prescription

accreting disk の 有効温度 (式 3.30) は 粘性係数  $\eta$  とは独立。

( $\Rightarrow$ ) 内盤進化の  $\eta$  は  $2\pi r \Gamma - 1$ , 面密度  $\rho$  も  $\Gamma - 1$  には依存。

つまり  $\eta$  を 考える上では、粘性による 角運動量輸送の  
根本的な 物理は 何?

#### ① Molecular collisions (molecular viscosity)

地球流体  $\eta$  は 一般的  $\eta$

ナビエ・ストークスの式 (Navier - Stokes equations) で 导かれて  
される。

近似的:

$$v_m \sim \lambda c_s \quad (3.40)$$

$\lambda$ : mean-free path

$$\lambda = \frac{1}{n \sigma_{mol}} \quad (3.41)$$

$\sigma_{mol}$ : cross-section for molecular collisions

オーダー  $\eta$  の 見積り

$$\sigma_{mol} \approx 2 \times 10^{-15} \text{ cm}^2 \quad (3.42) \quad \text{実験の} \quad \text{交叉断面積の} \quad \text{値}$$

$$c_s = 0.5 \text{ km s}^{-1} \quad \text{at} \quad 10 \text{ AU}$$

$$n = 10^{12} \text{ cm}^{-3}$$

$$\rightarrow v_m \sim 2.5 \times 10^7 \text{ cm}^2 \cdot \text{s}^{-1} \quad \rightarrow \tau \sim \frac{r^2}{v_m} \quad \text{粘性方程式} \quad \text{より}$$

左のナビエ・ストークスは、(式 3.11) です。

$$\Delta t \approx \frac{r^2}{v_m} = 3 \times 10^{13} \text{ yr} \quad (3.43)$$

( $\Rightarrow$ ) 観測から 内盤進化の  $\eta$  は  $2\pi r \Gamma - 1 \sim 10^6 \text{ yr}$   
 $10^7 < \text{より} \text{異なる}.$

Molecular viscosity  $\eta$  は大きい。

\* 粘性係数の小さな  $\eta$  のとき

Reynolds 数は、

$$Re \equiv \frac{UL}{v_m} \quad (3.44)$$

$U, L$  : 管を特徴づける速度と長さ。

$\eta$  定義され。

$$U = c_s, L = h = 0.05 r \text{ とする} \rightarrow 10 Av \sim$$

$$Re \sim 10^2$$

となり、大きくなる。

disk に対して小さい  $\eta$  で散逸がある  $\rightarrow$  乱流

## ② turbulence

乱流がおもに等方的である。

- 乱流の大きさは、円盤の最も小さいスケール以下。

(スケール八分之一:  $h$ )

- 一般に



- 乱流の速度は  $c_s$  以下。

超音速で shock を起こして多くの散逸がある。

$\rightarrow$  turbulent viscosity  $\eta$ 。

$$\eta = 2c_s h \quad (3.46)$$

と書けた。

$\alpha$ : Shakura - Sunyaev 2 parameter

無次元量で、乱流による角運動量輸送の効率を示す。

式 (3.46) を用い

○ 粘性係数  $\eta$  が disk の local 子量 ( $c_s, h$ ) で置かれた

→ disk の local 子構造が計算できる。

○ 今は 1 次元のみ (これは制限) が、定数である必要はない  
温度、密度、gas の成分は 2 次元化する。

○ molecular viscosity と同じ次元を持つ。全く異なるプロセス  
が  $\zeta = 23 = \zeta_1$  注意。

特に、molecular viscosity は対して正しい、 $+E^{\infty}$ 、ストークスを假定。  
ただし、 $\eta \propto \rho$  は。

### 3.3.3 Vertically averaged solutions.

○ (3.46) を用い、 $U$  は  $r, \Sigma$  の関数で置かれた。

○  $U$  は、定常解 (3.20) を求められる。

○ 式 (3.6) の円盤進化の式と合わせて、任意の初期面密度を  
対する、時間進化の解が得られる。

vertically averaged or "one zone" 近似

• eqn. of radiative diffusion 式 (3.33) → 近似解 (3.38)

鉛直方向の  $\tau$  に依存するパラメータ  $\rightarrow z=0$  の値  
 $\gamma = \gamma^*$  を考えた

$$\frac{T_c^4}{T_{\text{disk}}^4} \approx \frac{3}{4} \tau$$

surface density :  $\Sigma$  → 解説 (3.21)

angular velocity :  $\Omega = \Omega_{\text{disk}} = \sqrt{\frac{GM_p}{r^3}}$

mid-plane Temp. :  $T_c$

effective :  $T_{\text{disk}}$

sound speed :  $c_s$

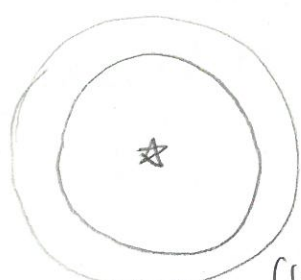
(Volume) density :  $\rho$

scale height :  $h$

opacity :  $k_R$

viscosity :  $\eta$

optical depth :  $\tau$



$T_{disk} < \tau$  以外は、全て  $\tau = 0$  の値を考へる

$T_{disk}$ : photosphere で定義される。

$\tau$ : 表面  $\times$  mid-plane の (面)  $\tau$  漸減率。

式をまとめると

$$v = 2c_s h \quad (3.47)$$

$$c_s^2 = \frac{k_B T_c}{\mu m_p} \quad (3.48)$$

$$\rho = \frac{1}{\sqrt{2\pi}} \frac{\Sigma}{h} \quad (3.49)$$

$$h = \frac{c_s}{\omega} \quad (3.50)$$

$$T_c^4 = \frac{3}{4} \tau T_{disk}^4 \quad (3.51)$$

$$\tau = \frac{1}{2} \Sigma k_R \quad (3.52)$$

$$v\Sigma = \frac{\dot{M}}{3\pi} \quad (3.53)$$

$$\sigma T_{disk}^4 = \frac{9}{8} v\Sigma \Omega^2 \quad (3.54)$$

$k_R$  の決定法: 变数  $\theta_2 = \theta_1$  で  $\theta_2$  を解く。

$k_R$  は 密度  $\times$  湿度  $\times$  power-law  $\times$  近似式を満たす。ただし  $r.a.$  の power-law  $\times$  である。

例) mid-plane の opacity  $\kappa$  の粒子は disk を考へる  
=  $\alpha \propto r$ 、近似的に

$$\kappa = \kappa_0 T_c^2 \quad (3.55)$$

$$\kappa_0 = 2.4 \times 10^{-4}$$

となる。

上の式から变数を消去 ( $\rho$  の部分 - 2 式が同じ式)

$$\Sigma^3 = \frac{64}{81\pi} \frac{\sigma}{\kappa_0} \left( \frac{\mu m_p}{k_B} \right)^2 \alpha^{-2} \dot{M} \quad (3.56)$$

accretion rate  $\dot{M} = 10^{-7} M_{\odot} \text{ yr}^{-1}$

$$\alpha = 0.01$$

$$L = 10^{34} \text{ L}_\odot, \Sigma \approx 140 \text{ g cm}^{-2}$$

$$\hookrightarrow v \approx 5 \times 10^{15} \text{ cm s}^{-1} \text{ は対応}$$

7ヶ月間で  $10^{-12} \text{ M}_{\odot}$  の質量が

$$\approx 1.3 \times 10^6 \text{ yr}$$

$$\approx \text{a few } \times 10^6 \text{ yr でコロナを吹き飛ばす}$$

$$\text{観測される } \alpha \approx 10^{-2}$$